

บทที่ 4

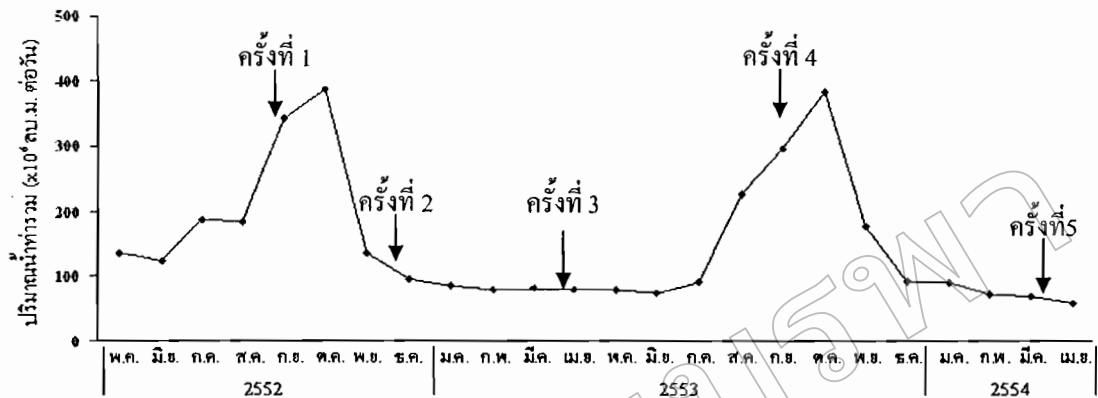
ผลการวิจัย

การแปรผันความดันย่อของคาร์บอนไดออกไซด์ ($p\text{CO}_2$) ในอ่าวไทยตอนในระหว่างเดือนสิงหาคม 2552 ถึงเดือนมีนาคม 2554 มีผลการศึกษา ดังต่อไปนี้

4.1 ปริมาณน้ำท่า

ในการศึกษานี้ได้จำแนกการเก็บตัวอย่างตามกุฎุกาลโดยใช้ข้อมูลปริมาณน้ำท่ารวม (กรมชลประทาน, 2554) จากแม่น้ำสายหลักทั้ง 4 สาย ได้แก่ แม่น้ำเจ้าพระยา แม่น้ำแม่กลอง แม่น้ำท่าจีน และแม่น้ำบางปะกง ที่ไหลลงสู่อ่าวไทยตอนใน และความเค็มของน้ำทะเลในอ่าวไทยตอนใน ตลอดระยะเวลาทำการศึกษา (ภาพที่ 4-1) โดยพบว่าปริมาณน้ำท่ามีแนวโน้มเพิ่มสูงขึ้น ($>150 \times 10^6$ ลบ.ม. ต่อวัน) ในเดือนสิงหาคม 2552 และมีแนวโน้มลดลง ($\sim 130 \times 10^6$ ลบ.ม. ต่อวัน) ในเดือนพฤษภาคม 2552 จนกระทั่งเดือนมีนาคม 2553 พบร่วมปริมาณน้ำท่าน้อยกว่า 120×10^6 ลบ.ม. ต่อวัน และมีแนวโน้มเพิ่มสูงขึ้นอีกรั้งในเดือนสิงหาคม 2553 จากนั้นจะมีแนวโน้มลดลง ในเดือนพฤษภาคม 2553 จนกระทั่งเดือนมีนาคม 2554 พบร่วมปริมาณน้ำท่าน้อยกว่า 120×10^6 ลบ.ม. ต่อวัน จึงทำให้สามารถจำแนกกุฎุกาลได้ ดังตารางที่ 4-1

ขณะที่ในกุฎุ忿นีปริมาณน้ำท่ามาก ($>250 \times 10^6$ ลบ.ม. ต่อวัน) ส่งผลให้ความเค็มของน้ำทะเลลดลง (27.3 ± 4.5) และเพิ่มขึ้นตามลำดับในช่วงปลายกุฎุ忿น (30.9 \pm 2.1) ต่อเนื่องไปยังกุฎุแต็ง (32.3 ± 1.2) ซึ่งมีปริมาณน้ำท่าไหลลงสู่อ่าวไทยตอนในในปริมาณ 120×10^6 ลบ.ม. ต่อวัน และน้อยกว่า 100×10^6 ลบ.ม. ต่อวัน



ภาพที่ 4-1 ปริมาณน้ำท่ารวมจากแม่น้ำเจ้าพระยาแม่น้ำแม่กลอง แม่น้ำท่าจีน และแม่น้ำบางปะกง ที่ไหลลงสู่อ่าวไทยตอนในตลอดระยะเวลาทำการศึกษา (กรมชลประทาน, 2554);
 ครั้งที่ 1 (30 สิงหาคม-3 กันยายน 2552), ครั้งที่ 2 (18-22 พฤศจิกายน 2552), ครั้งที่ 3 (20-24 มีนาคม 2553), ครั้งที่ 4 (7-11 กันยายน 2553) และครั้งที่ 5 (1-5 มีนาคม 2554)

ตารางที่ 4-1 ถูกุกาล และช่วงเวลาที่ทำการเก็บตัวอย่างในอ่าวไทยตอนในตลอดระยะเวลาทำการศึกษา

ครั้งที่เก็บตัวอย่าง	วันที่เก็บตัวอย่าง	ถูกุกาล
1	30 สิงหาคม-3 กันยายน 2552	ถูกุฝน
2	18-22 พฤศจิกายน 2552	ปลายถูกุฝน
3	20-24 มีนาคม 2553	ถูกุเลี้ง
4	7-11 กันยายน 2553	ถูกุฝน
5	1-5 มีนาคม 2554	ถูกุเลี้ง

4.2 คุณภาพน้ำ

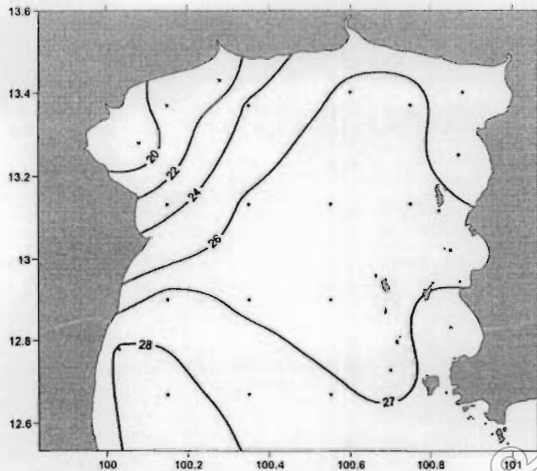
คุณภาพน้ำในบริเวณอ่าวไทยตอนใน ได้แก่ ความเป็นกรด-ค่าง อุณหภูมิ ความเค็ม และ สภาพค่างทั้งหมด มีผลการตรวจวัด แสดงดังตารางที่ 4-2

ความเป็นกรด-ค่างของน้ำทะเลมีค่าเฉลี่ยสูงสุดคือ 8.2 ± 0.1 และมีค่าเฉลี่ยต่ำสุดคือ 8.0 ± 0.1 ในระหว่าง 7-11 กันยายน 2553 และ 18-22 พฤศจิกายน 2552 ตามลำดับ โดยพบว่าความเป็นกรด-ค่างที่ระดับผิวน้ำทะเลมีปริมาณใกล้เคียงกันตลอดระยะเวลาที่ทำการศึกษา เช่นเดียวกับ อุณหภูมิที่ผิวน้ำทะเล ซึ่งพบว่ามีค่าเฉลี่ยสูงสุดในระหว่าง 7-11 กันยายน 2553 ($31.3 \pm 0.6^{\circ}\text{C}$) และ มีค่าเฉลี่ยต่ำสุดในระหว่าง 1-5 มีนาคม 2554 ($29.8 \pm 0.3^{\circ}\text{C}$) ขณะที่ความเค็มที่ผิวน้ำทะเลลดลง ระยะเวลาที่ทำการศึกษามีค่าเฉลี่ยสูงสุดในระหว่าง 20-24 มีนาคม 2553 (32.9 ± 1.4) และมีค่าเฉลี่ยต่ำสุดในระหว่าง 30 สิงหาคม- 3 กันยายน 2552 (26.8 ± 1.9) ซึ่งมีการเปลี่ยนแปลงโดยมีปริมาณเพิ่ม สูงขึ้นเมื่อห่างจากปากแม่น้ำและขยายฝั่งออกไป (ภาพที่ 4-2) และพบว่าสภาพค่างทั้งหมดของน้ำทะเลมีค่าเฉลี่ยสูงสุดคือ 1183.2 ± 25.0 ไมโครโมล/กิโลกรัม ในระหว่าง 30 สิงหาคม- 3 กันยายน 2552 และมีค่าเฉลี่ยต่ำสุดในระหว่าง 1-5 มีนาคม 2554 คือ 1053.5 ± 19.9 ไมโครโมล/กิโลกรัม โดยสภาพค่างทั้งหมดที่ผิวน้ำทะเลมีปริมาณใกล้เคียงกันตลอดระยะเวลาที่ทำการศึกษา (ภาพที่ 4-3) ยกเว้นในระหว่าง 7-11 กันยายน 2553 ที่พบว่าสภาพค่างทั้งหมดที่ผิวน้ำทะเลในบริเวณใกล้ปากแม่น้ำบางปะกง มีปริมาณน้อยกว่า 1000 ไมโครโมล/กิโลกรัม (ภาพที่ 4-3 (ง))

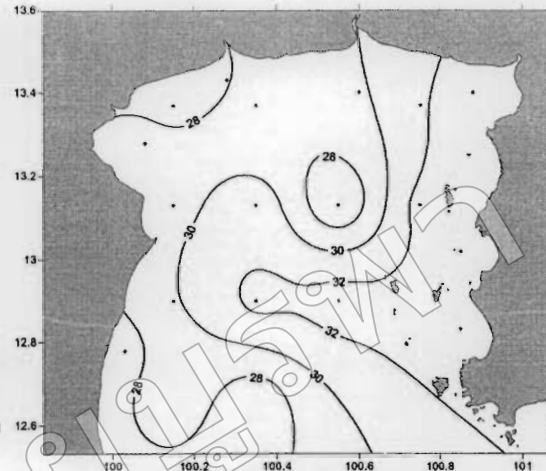
ความเร็วลมที่ระดับความสูงเหนือน้ำทะเลปานกลาง 10 เมตร ณ สถานีอุตุนิยมวิทยา เกาะสีชัง จ.ชลบุรี (กรมอุตุนิยมวิทยา, 2554) ซึ่งนำมาใช้ในการคำนวณฟลักซ์สุทธิที่ผิวน้ำทะเล ของ CO_2 ในระหว่างการศึกษาระบบนี้พบว่าความเร็วลมมีค่าเฉลี่ยสูงสุด 3.8 เมตรต่อวินาที ในช่วง ปลายฤดูฝน (18-22 พฤศจิกายน 2552) และต่ำสุด 0.5 เมตรต่อวินาที ในระหว่าง 7-11 กันยายน 2553 โดยในระหว่าง 30 สิงหาคม-3 กันยายน 2552 20-24 มีนาคม 2553 และ 1-5 มีนาคม 2554 มีความเร็วลมเฉลี่ยเท่ากับ 1.6, 1.5 และ 0.9 เมตรต่อวินาที ตามลำดับ

ตารางที่ 4-2 คุณภาพน้ำทะเล (ค่าเฉลี่ย \pm SD) ในอ่าวไทยตอนใน ตลอดระยะเวลาทำการศึกษา; ครั้งที่ 1 (30 สิงหาคม-3 กันยายน 2552), ครั้งที่ 2 (18-22 พฤศจิกายน 2552), ครั้งที่ 3 (20-24 ธันวาคม 2553), ครั้งที่ 4 (7-11 กันยายน 2553) และครั้งที่ 5 (1-5 มีนาคม 2554)

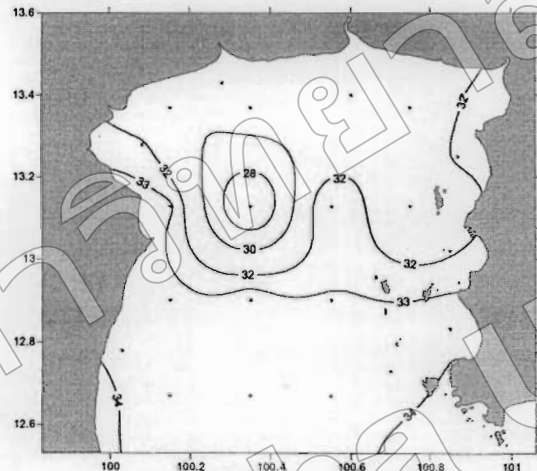
พารามิเตอร์	ครั้งที่ 1		ครั้งที่ 2		ครั้งที่ 3		ครั้งที่ 4		ครั้งที่ 5	
	ค่าเฉลี่ย \pm SD (n = 93)	(ค่าต่ำสุด-ค่าสูงสุด)	ค่าเฉลี่ย \pm SD (n = 83)	(ค่าต่ำสุด-ค่าสูงสุด)	ค่าเฉลี่ย \pm SD (n = 97)	(ค่าต่ำสุด-ค่าสูงสุด)	ค่าเฉลี่ย \pm SD (n = 96)	(ค่าต่ำสุด-ค่าสูงสุด)	ค่าเฉลี่ย \pm SD (n = 93)	(ค่าต่ำสุด-ค่าสูงสุด)
pH	8.1 \pm 0.2 (7.8-8.9)	8.0 \pm 0.1 (7.6-8.3)	8.1 \pm 0.1 (7.8-8.2)	8.1 \pm 0.1 (7.8-8.5)	8.2 \pm 0.1 (7.8-8.2)	8.2 \pm 0.1 (7.8-8.5)	8.2 \pm 0.1 (7.8-8.5)	8.2 \pm 0.1 (7.8-8.5)	8.1 \pm 0.1 (7.9-8.2)	8.1 \pm 0.1 (7.9-8.2)
อุณหภูมิ(°C)	30.5 \pm 0.4 (29.4-31.4)	29.9 \pm 0.3 (29.3-30.5)	30.7 \pm 0.5 (27.0-31.4)	30.7 \pm 0.5 (27.5-32.7)	31.3 \pm 0.6 (27.5-32.7)	31.3 \pm 0.6 (27.5-32.7)	31.3 \pm 0.6 (27.5-32.7)	31.3 \pm 0.6 (27.5-32.7)	29.8 \pm 0.3 (29.2-30.8)	29.8 \pm 0.3 (29.2-30.8)
ความเค็ม	26.8 \pm 1.9 (18.1-29.3)	30.9 \pm 2.1 (25.6-33.2)	32.9 \pm 1.4 (25.2-33.9)	32.9 \pm 1.4 (25.2-33.9)	27.9 \pm 6.0 (7.7-34.2)	27.9 \pm 6.0 (7.7-34.2)	27.9 \pm 6.0 (7.7-34.2)	27.9 \pm 6.0 (7.7-34.2)	31.8 \pm 0.4 (30.1-32.4)	31.8 \pm 0.4 (30.1-32.4)
สภาพด่างชั้นหมด (nmol/L โมลิกิโลกรัม)	1183.2 \pm 25.0 (1106.0-1248.8)	1159.6 \pm 51.6 (1109.6-1584.0)	1127.3 \pm 32.7 (1042.1-1186.5)	1127.3 \pm 32.7 (1042.1-1186.5)	1074.9 \pm 80.8 (741.4-1178.8)	1074.9 \pm 80.8 (741.4-1178.8)	1074.9 \pm 80.8 (741.4-1178.8)	1074.9 \pm 80.8 (741.4-1178.8)	1053.5 \pm 19.9 (993.3-1095.6)	1053.5 \pm 19.9 (993.3-1095.6)



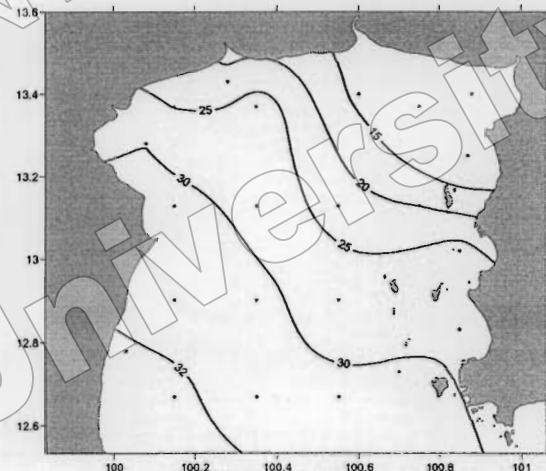
(ก) ฤดูฝน (30 สิงหาคม-3 กันยายน 2552)



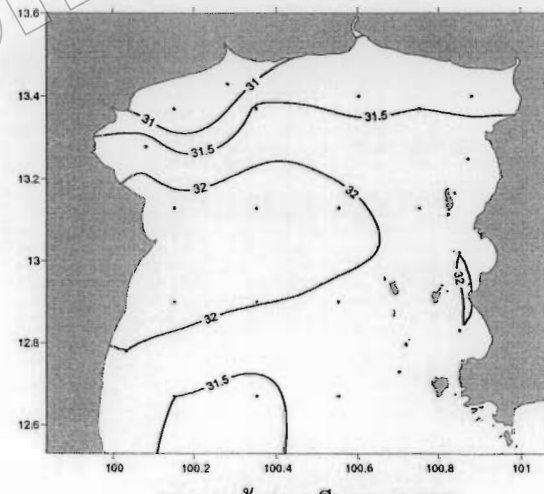
(ข) ปลายฤดูฝน 18-22 พฤศจิกายน 2552



(ค) ฤดูแล้ง (20-24 มีนาคม 2553)



(ง) ฤดูฝน (7-11 กันยายน 2553)

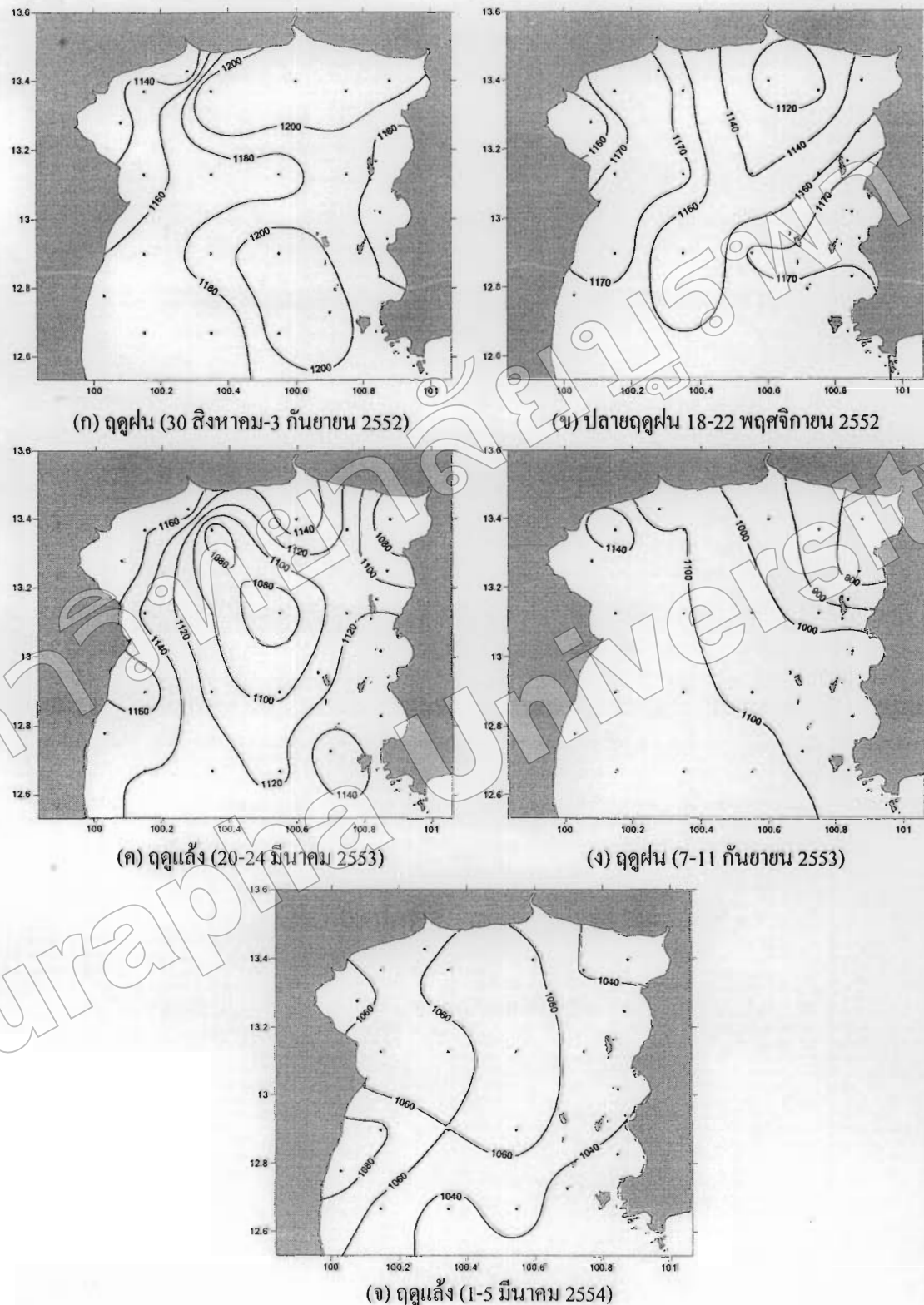


(จ) ฤดูแล้ง (1-5 มีนาคม 2554)

ภาพที่ 4-2 ความเค็มที่ผิวน้ำทะเลในอ่าวไทยตอนใน ตลอดระยะเวลาทำการศึกษา

(ก) 30 สิงหาคม-3 กันยายน 2552 (ข) 18-22 พฤศจิกายน 2552 (ค) 20-24 มีนาคม 2553

(ง) 7-11 กันยายน 2553 และ (จ) 1-5 มีนาคม 2554



ภาพที่ 4-3 สภาพด่างทั้งหมด (โนโตรโนมล/กิโลกรัม) ที่ผิวน้ำทะเลในอ่าวไทยตอนใน
ตลอดระยะเวลาทำการศึกษา (ก) 30 สิงหาคม-3 กันยายน 2552 (ข) 18-22 พฤศจิกายน
2552 (ค) 20-24 มีนาคม 2553 (ง) 7-11 กันยายน 2553 และ (จ) 1-5 มีนาคม 2554

4.3 pCO_2 ที่ผิวน้ำทะเลในอ่าวไทยตอนใน

pCO_2 ที่ผิวน้ำทะเลลดลงระยะเวลาที่ทำการศึกษา (ตารางที่ 4-3) มีปริมาณอยู่ในช่วง 49.2 μatm ถึง 590.1 μatm (ค่าเฉลี่ย $165.9 \pm 74.2 \mu\text{atm}$) โดยพบว่าการเปลี่ยนแปลงของ pCO_2 ที่ผิวน้ำทะเลสามารถจำแนกตามฤดูกาลได้ ดังนี้ (ภาพที่ 4-4)

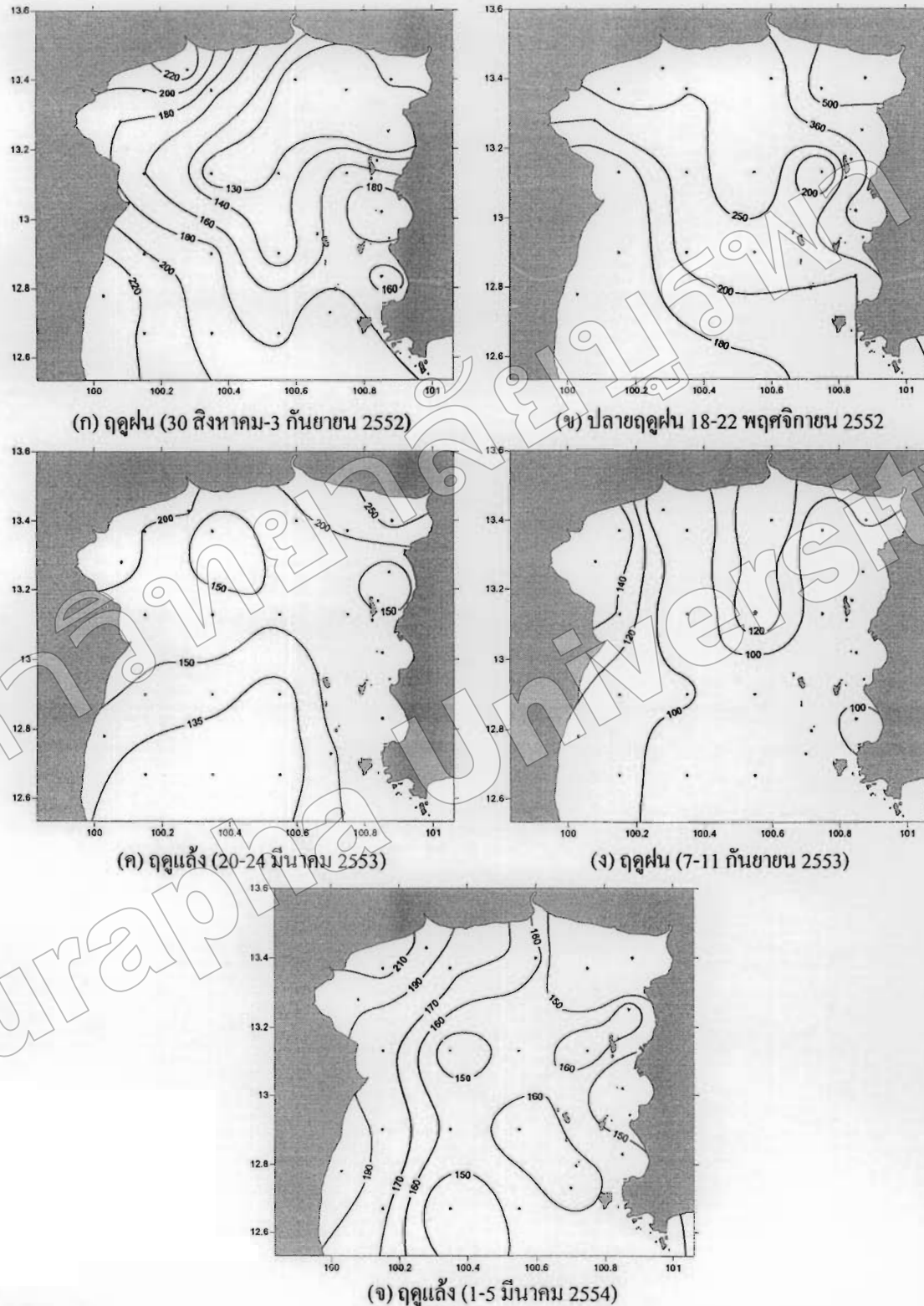
3.1 ช่วงฤดูฝน ระหว่างวันที่ 30 สิงหาคม-3 กันยายน 2552 พบว่า pCO_2 ที่ผิวน้ำทะเล มีปริมาณอยู่ในช่วง 98.5-246.1 μatm โดยพบว่าปริมาณ pCO_2 ที่ผิวน้ำทะเลในบริเวณปากอ่าว และทะเลขึ้นฝั่งด้านทิศตะวันตกของอ่าวไทยตอนใน ($>200 \mu\text{atm}$) จะมีค่าสูงกว่าในบริเวณ ปากแม่น้ำบางปะกง (~130 μatm) (ภาพที่ 4-4 (ก)) ส่วนในระหว่าง 7-11 กันยายน 2553 พบว่า pCO_2 ที่ผิวน้ำทะเลในบริเวณปากอ่าว ($<100 \mu\text{atm}$) จะมีค่าต่ำกว่าในบริเวณปากแม่น้ำ ($>100 \mu\text{atm}$) โดยมีปริมาณอยู่ในช่วง 49.2-166.9 μatm (ภาพที่ 4-4 (ก))

3.2 ช่วงปลายฤดูฝน ระหว่างวันที่ 18-22 พฤศจิกายน 2552 พบว่า pCO_2 ที่ผิวน้ำทะเล มีปริมาณอยู่ในช่วง 101.2-590.1 μatm โดยปริมาณ pCO_2 ที่ผิวน้ำทะเลในบริเวณปากอ่าว ($<200 \mu\text{atm}$) มีปริมาณต่ำกว่าในบริเวณปากแม่น้ำและชายฝั่ง (250-500 μatm) (ภาพที่ 4-4 (ข))

3.3 ช่วงฤดูเดือด ระหว่างวันที่ 20-24 มีนาคม 2553 (ภาพที่ 4-4 (ค)) และ 1-5 มีนาคม 2554 (ภาพที่ 4-4 (จ)) พบว่า pCO_2 ที่ผิวน้ำทะเลมีปริมาณอยู่ในช่วง 105.3-270.3 μatm และ 103.7-218.4 μatm ตามลำดับ โดยปริมาณ pCO_2 ที่ผิวน้ำทะเลในบริเวณทะเลขึ้นฝั่งและปากแม่น้ำ ($>180 \mu\text{atm}$) จะมีปริมาณสูงกว่าในบริเวณปากอ่าว ยกเว้นในบริเวณอ่าวไทยตอนในด้านทิศตะวันออกที่จะมีค่าใกล้เคียงกับในบริเวณปากอ่าว ($<150 \mu\text{atm}$)

ตารางที่ 4-3 pCO_2 ที่ผิวน้ำทะเลในอ่าวไทยตอนใน ตลอดระยะเวลาทำการศึกษา

ครั้งที่ทำการศึกษา (วันที่)	pCO_2 (μatm)		
	ค่าต่ำสุด-ค่าสูงสุด	ค่าเฉลี่ย \pm SD	n
ครั้งที่ 1 (30 สิงหาคม-3 กันยายน 2552)	98.5-246.1	170 \pm 41.6	22
ครั้งที่ 2 (18-22 พฤศจิกายน 2552)	101.2-590.1	254.6 \pm 117.6	16
ครั้งที่ 3 (20-24 มีนาคม 2553)	105.3-270.3	164.6 \pm 42.7	18
ครั้งที่ 4 (7-11 กันยายน 2553)	49.2-166.9	100.0 \pm 35.1	22
ครั้งที่ 5 (1-5 มีนาคม 2554)	103.7-218.4	164.5 \pm 29.5	21

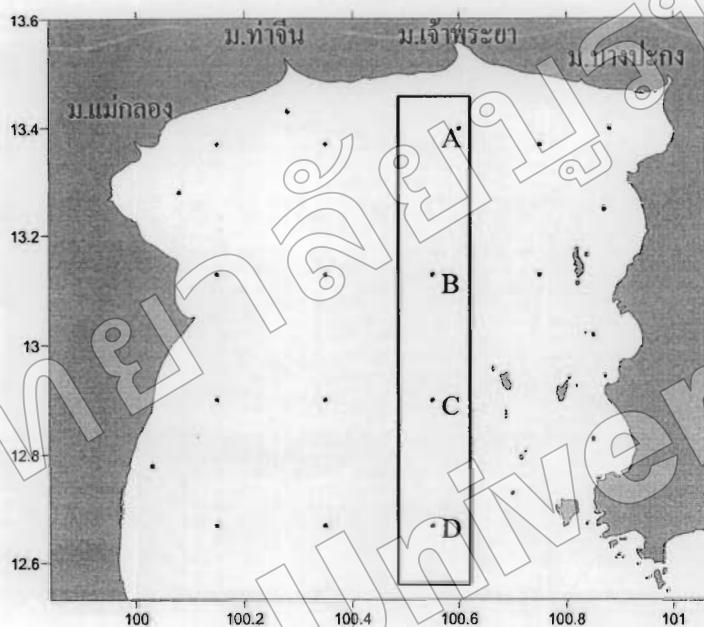


ภาพที่ 4-4 $p\text{CO}_2$ (μatm) ที่ผิวน้ำทะเลในอ่าวไทยตอนใน ตลอดระยะเวลาทำการศึกษา

(ก) 30 สิงหาคม-3 กันยายน 2552 (ข) 18-22 พฤศจิกายน 2552 (ค) 20-24 มีนาคม 2553
 (ง) 7-11 กันยายน 2553 และ (จ) 1-5 มีนาคม 2554

4.4 การเปลี่ยนแปลงตามความลึกของ pCO_2 ในอ่าวไทยตอนใน

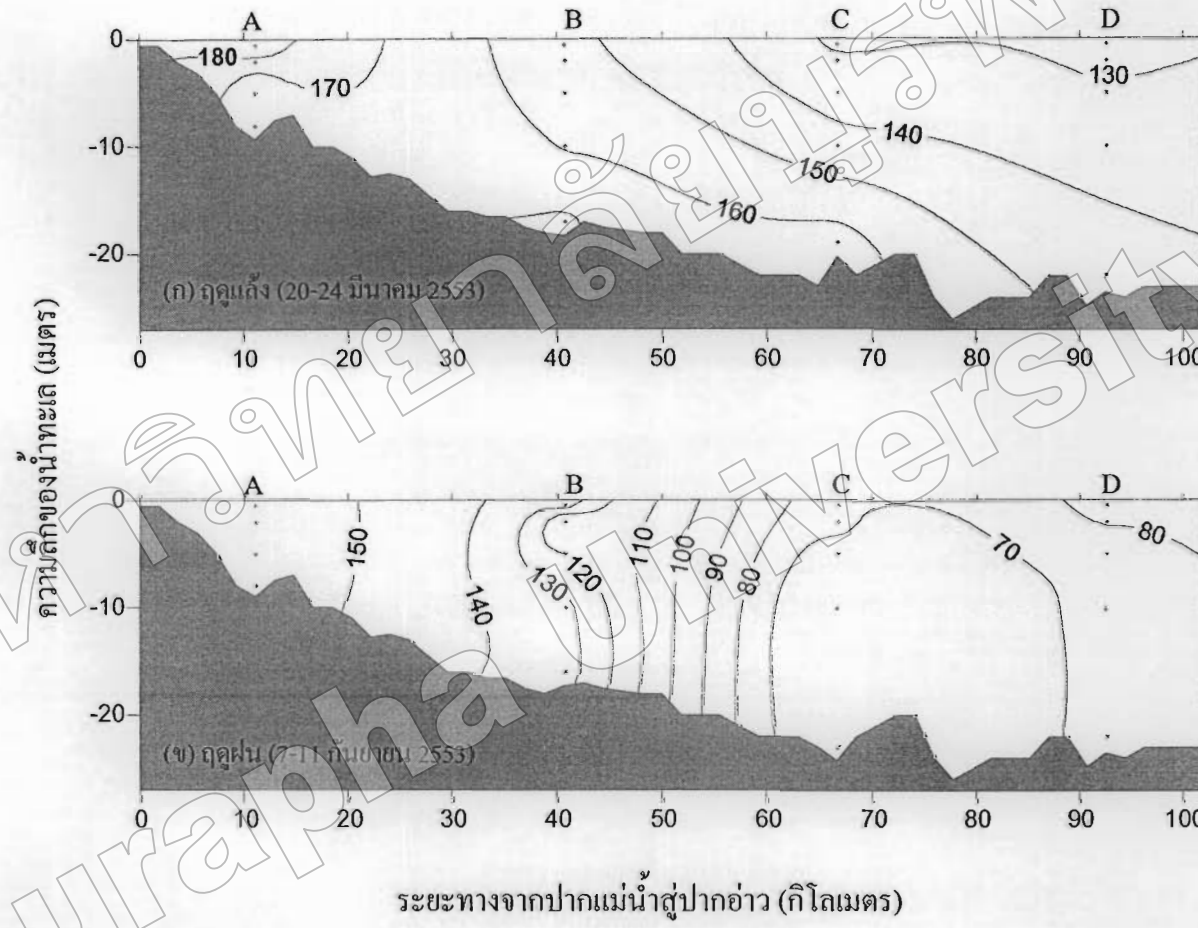
การเปลี่ยนแปลงตามความลึกของ pCO_2 ในน้ำทะเลพิจารณาข้อมูลที่ได้จากจุดเก็บตัวอย่างในแนวปากแม่น้ำเจ้าพระยาจนถึงปากอ่าว (ภาพที่ 4-5) เพื่อใช้เป็นตัวแทนในการอธิบายการเปลี่ยนแปลงตามความลึกของ pCO_2 ในน้ำทะเล



ภาพที่ 4-5 จุดเก็บตัวอย่างที่ใช้อธิบายการเปลี่ยนแปลงตามความลึกของ pCO_2 ในน้ำทะเลในอ่าวไทยตอนใน ถึงแม่น้ำเจ้าพระยา (A) จนถึงปากอ่าว (D)
(แสดงภายนกรอบสีเหลือง)

พบว่าบริเวณปากแม่น้ำมีปริมาณ pCO_2 ในน้ำทะเล ($>150 \mu\text{atm}$) สูงกว่าในบริเวณปากอ่าว ทั้งในฤดูแล้ง (20-24 มีนาคม 2553) และฤดูฝน (7-11 กันยายน 2553) ซึ่งพบว่าในช่วงฤดูแล้ง pCO_2 ในน้ำทะเลมีการเปลี่ยนแปลงตามความลึก โดยจะมีปริมาณลดลงตามความลึกที่เพิ่มขึ้น ในบริเวณใกล้ปากแม่น้ำ และจะมีปริมาณเพิ่มสูงขึ้นตามความลึกที่เพิ่มขึ้นในบริเวณที่ห่างจากปากแม่น้ำออกไปจนถึงกลางอ่าว (ภาพที่ 4-6 (ก)) ส่วนในฤดูฝนพบว่าบริเวณใกล้ปากแม่น้ำไม่มีการเปลี่ยนแปลงของ pCO_2 ตามความลึกของน้ำทะเล แต่มีการเปลี่ยนแปลงตามความลึกในบริเวณที่ห่างจากปากแม่น้ำประมาณ 40 กิโลเมตร (สถานี B ในภาพที่ 4-6 (ข)) โดยปริมาณ pCO_2 ในน้ำทะเลจะลดลงจากผิวน้ำน้ำทะเลที่ระดับความลึก 2 เมตร แล้วจะค่อยๆ เพิ่มสูงขึ้นตามความลึก

ที่เพิ่มขึ้น เช่นเดียวกับบริเวณที่อยู่ระหว่างสถานี C และ D (ภาพที่ 4-6 (ว)) ที่พบว่า $p\text{CO}_2$ ในน้ำทะเลมีการเปลี่ยนแปลงตามความลึก โดยที่ผิวน้ำทะเลมีปริมาณ $p\text{CO}_2$ (~80 μatm) สูงกว่ามวลน้ำที่พื้นท้องทะเล (<70 μatm)



ภาพที่ 4-6 การเปลี่ยนแปลงตามความลึกของ $p\text{CO}_2$ (μatm) ในอ่าวไทยตอนใน ระหว่าง (ก) ถัดแล้ง (20-24 มีนาคม 2553) และ (ข) ถัดฟุน (7-11 กันยายน 2553)

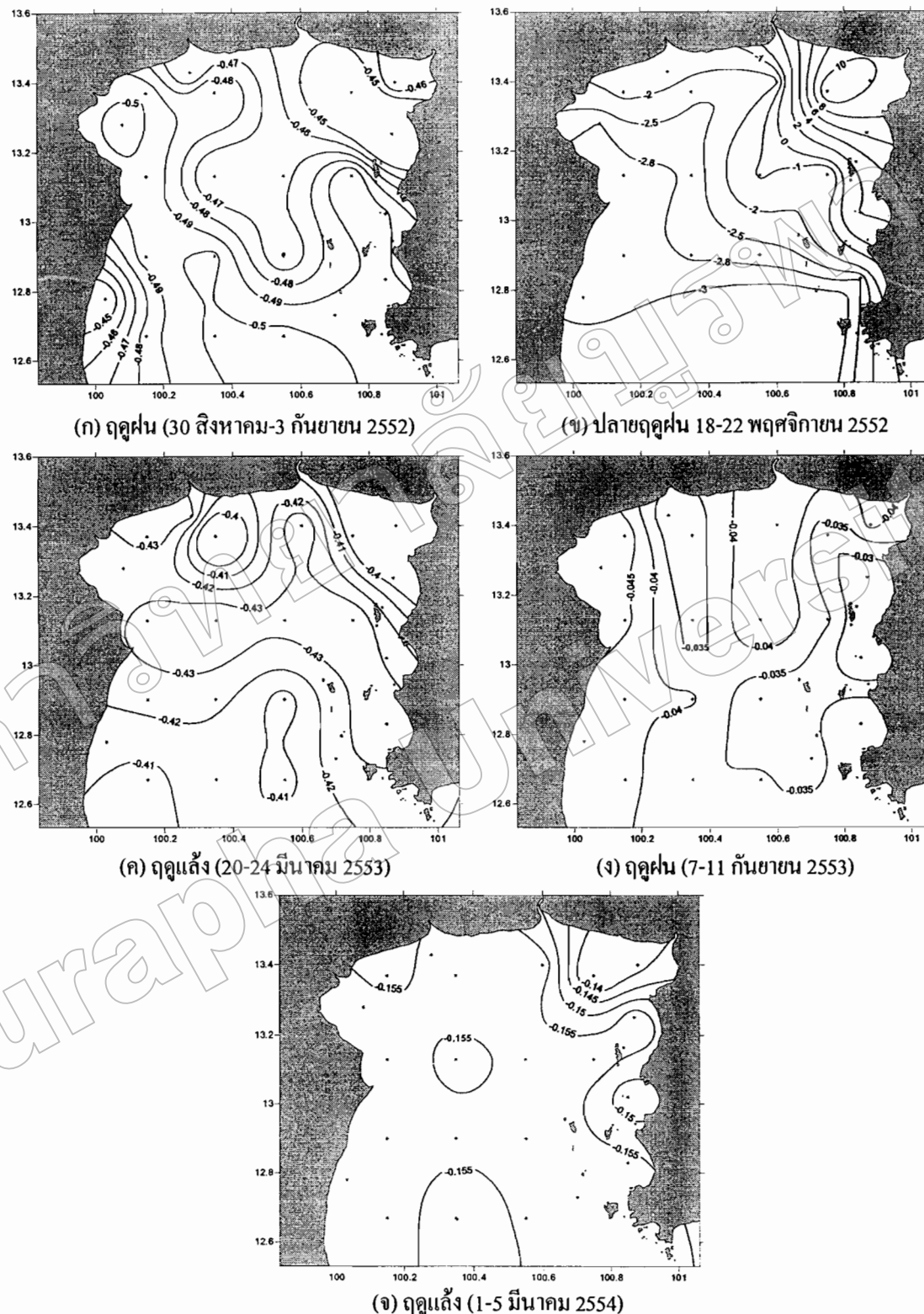
4.5 ผลักซ์ของกําร์บอนไดออกไซด์ที่ผิวน้ำทะเลในอ่าวไทยตอนใน

จากการคำนวณผลักซ์สุทธิของ CO_2 ที่ผิวน้ำทะเลลดลงตลอดระยะเวลาที่ทำการศึกษา พบว่า อ่าวไทยตอนในมีอัตราการแลกเปลี่ยน CO_2 ระหว่างผิวน้ำทะเลกับบรรยากาศ แสดงดังตารางที่ 4-4 ซึ่งเมื่อพิจารณาผลักซ์ของ CO_2 ในแต่ละฤดูกาลแล้วพบว่าในฤดูฝน (30 สิงหาคม- 3 กันยายน 2552 และ 7-11 กันยายน 2553) มีการดูดซับ CO_2 จากบรรยากาศสูญน้ำทะเลอยู่ในช่วง -0.02 ถึง -0.50 มิลลิโนล/ตารางเมตร/วัน โดยมีปริมาณใกล้เคียงกันทั้งอ่าว (ภาพที่ 4-7 (ก) และ (ง)) เช่นเดียวกับในฤดูแล้ง (20-24 มีนาคม 2553 และ 1-5 มีนาคม 2554) ซึ่งมีการดูดซับ CO_2 จากบรรยากาศสูญน้ำทะเล อยู่ในช่วง -0.13 ถึง -0.44 มิลลิโนล/ตารางเมตร/วัน (ภาพที่ 4-7 (ค) และ (จ)) ขณะที่ในช่วงปลายฤดูฝน (18-22 พฤศจิกายน 2552) พบว่าผลักซ์ส่วนใหญ่ของ CO_2 มีการดูดซับ CO_2 จากบรรยากาศสูญน้ำทะเล อยู่ในช่วง -0.86 ถึง -2.83 มิลลิโนล/ตารางเมตร/วัน ยกเว้นในบริเวณใกล้ปากแม่น้ำบางปะกง ที่พบว่าเป็นแหล่งปลดปล่อย (source) ของ CO_2 ที่มีการปลดปล่อย CO_2 จากน้ำทะเลสู่บรรยากาศ อยู่ในช่วง 2.10-11.92 มิลลิโนล/ตารางเมตร/วัน ซึ่งครอบคลุมพื้นที่ประมาณ 1,718 ตารางกิโลเมตร (ภาพที่ 4-7 (ข))

ผลักซ์สุทธิของ CO_2 พบว่ามีการดูดซับ CO_2 จากบรรยากาศ -0.12 โนล/ตารางเมตร/ปี แสดงให้เห็นว่าบริเวณอ่าวไทยตอนในเป็นแหล่งสะสมหรือดูดซับของ CO_2 ที่สามารถดูดซับ CO_2 จากบรรยากาศที่เพริ่งสูญน้ำทะเลในปริมาณ -49.65×10^3 ตัน/ปี

ตารางที่ 4-4 ผลักซ์สุทธิของกําร์บอนไดออกไซด์ที่ผิวน้ำทะเลในอ่าวไทยตอนใน ตลอดระยะเวลาทำการศึกษา

ครั้งที่ทำการศึกษา (วันที่)	ผลักซ์สุทธิของ CO_2 (มิลลิโนล/ตารางเมตร/วัน)	
	อัตราการดูดซับ (sink)	อัตราการปลดปล่อย (source)
ครั้งที่ 1 (30 สิงหาคม-3 กันยายน 2552)	-0.40 ถึง -0.50	-
ครั้งที่ 2 (18-22 พฤศจิกายน 2552)	-0.86 ถึง -2.83	2.10 ถึง 11.92
ครั้งที่ 3 (20-24 มีนาคม 2553)	-0.33 ถึง -0.44	-
ครั้งที่ 4 (7-11 กันยายน 2553)	-0.02 ถึง -0.05	-
ครั้งที่ 5 (1-5 มีนาคม 2554)	-0.13 ถึง -0.16	-



ภาพที่ 4-7 พลังช์สุทธิของการบอน ไคออกไซด์ (มิลลิโนล/ตารางเมตร/วัน) ที่ผิวน้ำทะเลในอ่าวไทยตอนใน ตลอดระยะเวลาทำการศึกษา (ก) 30 สิงหาคม-3 กันยายน 2552 (ข) 18-22 พฤศจิกายน 2552 (ค) 20-24 มีนาคม 2553 (ง) 7-11 กันยายน 2553 และ (จ) ฤคุณแล้ง (1-5 มีนาคม 2554)

4.6 ผลการวิเคราะห์ข้อมูลทางสถิติ

จากการทดสอบทางสถิติพบว่า pCO_2 ที่ผิวน้ำทะเลระหว่างฤดูฝน (30 สิงหาคม- 3 กันยายน 2552, 18-22 พฤศจิกายน 2552 และ 7-11 กันยายน 2553) และฤดูแล้ง (20-24 มีนาคม 2553 และ 1-5 มีนาคม 2554) มีความแตกต่างกันอย่างมีนัยสำคัญทางสถิติ ($p<0.05$) และพบว่า pCO_2 ที่ผิวน้ำทะเลเมื่อความสัมพันธ์กับความเป็นกรด-ด่าง อย่างมีนัยสำคัญทางสถิติที่ระดับความเชื่อมั่น 0.05 ส่วนอุณหภูมิ ความเค็ม สภาพด่างทั้งหมด และผลผลิตขั้นต้น ไม่มีความสัมพันธ์กับ pCO_2 ที่ผิวน้ำทะเล อย่างมีนัยสำคัญทางสถิติที่ระดับความเชื่อมั่น 0.05